

# Lineární harmonický oscilátor

## Abstrakt

Harmonický oscilátor je jednou z nejjednodušších úloh klasické mechaniky na lineární diferenciální rovnici s konstantními koeficienty. V přírodě existuje mnoho systémů řídících se analogickými diferenciálními rovnicemi, jako například oscilace náboje v elektrickém obvodu, generování zvuku kmitáním tělesa, vibrace elektronů v atomovém obalu nebo vibrace molekul a interakce v chemických reakcích. V technické praxi jsou oscilace často nežádoucí, například při odpružení automobilu, termostatické regulaci teploty nebo v časovém vývoji neutronového toku v jaderném reaktoru.

## 1 Pracovní úkoly

- Změřte tuhost pružiny statickou metodou a vypočtěte vlastní úhlovou frekvenci pro dvě různá závaží.
- Změřte časový průběh tlumených kmitů pro dvě závaží, ověřte platnost rovnice (14) proložením dat a z parametrů proložení vypočtěte vlastní frekvenci volného oscilátoru.
- Změřte závislost amplitudy vynucených kmitů na frekvenci vnější síly v okolí rezonance pro dvě závaží a proložením dat ověřte platnost vztahu (19), z parametrů proložení vypočtěte vlastní frekvenci volného oscilátoru.
- Porovnejte výsledky vlastní frekvence ze všech tří předchozích úkolů.

### 1.1 Poznámky k pracovním úkolům

- Závaží volte stejná pro všechny pracovní úkoly.
- Tlumení oscilátoru je realizováno vířivými proudy indukovanými magnety v hliníku, rozestup magnetů volte  $\sim 3$  cm.
- Ověřením platnosti rovnice proložením se rozumí vizuální kontrola průběhu funkce vzhledem ke vstupním datům a diskuse chyb parametrů proložení.
- Prokládání dat proveďte v programu gnuplot, návod k jeho použití je v poslední části dokumentu.

## 2 Pomůcky

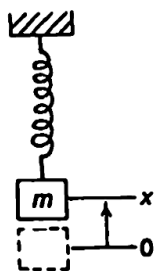
Experimentální stojan s pružinou a motorkem, tlumící magnety, rotační pohybové senzory Pasco, sada závaží, regulovatelný zdroj 0-20V, PC, programy DataStudio a gnuplot.

## 3 Potenciál harmonického oscilátoru

Stabilní poloha mechanického oscilátoru odpovídá stavu s minimální potenciální energií  $U(q)$ , kde  $q$  je zobecněná souřadnice. Jakákoliv výchylka vytvoří sílu  $-\frac{dU}{dq}$ . Pro malé posunutí z  $q_0$  je síla výchylce přímo úměrná a pro potenciál platí  $U(q) - U(q_0) = \frac{1}{2}k(q - q_0)^2$  kde  $k$  je kladná konstanta mající význam druhé derivace potenciálu  $U''(q)$ . Potenciální energii je vhodné měřit z rovnovážné hodnoty ( $U(q_0) = 0$ ), pak lze výchylku označit jako  $x = q - q_0$  a potenciál lineárního harmonického oscilátoru má tvar

$$U(x) = \frac{1}{2}kx^2. \quad (1)$$

V našem případě bude harmonický oscilátor realizován pružinou se zavěšeným závažím, viz obr. 1. Konstanta  $k$  pak má význam tuhosti pružiny, pro kterou platí Hookův zákon  $F = -kx$ , kde  $x$  je prodloužení pružiny vyvolané působením síly  $F$ .



Obrázek 1: Harmonický oscilátor s pružinou a závažím

## 4 Pohybová rovnice harmonického oscilátoru

Pohybová rovnice pro těleso hmotnosti  $m$  příslušná potenciálu (1) má tvar

$$m\ddot{x} + kx = 0 \quad (2)$$

nebo

$$\ddot{x} + \omega^2 x = 0 \quad (3)$$

kde  $\omega = \sqrt{k/m}$ .

Obecné řešení rovnice (3) je

$$x(t) = c_1 \cos(\omega t) + c_2 \sin(\omega t) \quad (4)$$

nebo v jiném tvaru

$$x(t) = a \cos(\omega t + \alpha), \quad (5)$$

přičemž pro konstanty  $c_1$  a  $c_2$  z obecného řešení (4) platí  $a = \sqrt{c_1^2 + c_2^2}$  a  $\tan \alpha = -c_2/c_1$ . V řešení (5) má konstanta  $a$  význam amplitudy oscilací,  $\alpha$  je počáteční fáze oscilátoru a  $\omega$  je úhlová frekvence. V případě parabolického potenciálu (1) úhlová frekvence nezávisí na počátečních podmínkách a je dána výhradně vlastnostmi oscilátoru.

## 5 Vynucené kmity

Uvažujme oscilace systému, na který působí časově proměnná vnější síla  $F(t)$ . Příslušná pohybová rovnice nabývá tvar

$$\ddot{x} + \omega^2 x = F(t)/m \quad (6)$$

kde  $\omega$  je frekvence volného kmitání jako v rovnici (3). Řešením rovnice (6) je součet obecného řešení homogenní rovnice a partikulárního řešení nehomogenní rovnice, pro periodickou sílu s frekvencí  $\gamma$

$$F(t) = f \cos(\gamma t + \beta) \quad (7)$$

máme partikulární řešení  $x_1 = b \cos(\gamma t + \beta)$ , kde pro  $b$  platí  $b = f/m(\omega^2 - \gamma^2)$  dosazením  $x_1$  do (6).

Pro řešení rovnice (6) dostaneme

$$x(t) = a \cos(\omega t + \alpha) + \frac{f}{m(\omega^2 - \gamma^2)} \cos(\gamma t + \beta) \quad (8)$$

Řešení (8) zřejmě neplatí při rezonanci, kdy  $\gamma = \omega$ . Pokud přepíšeme (8) na tvar s jiným významem parametru  $a$

$$x(t) = a \cos(\omega t + \alpha) + \frac{f}{m(\omega^2 - \gamma^2)} [\cos(\gamma t + \beta) - \cos(\omega t + \beta)], \quad (9)$$

kde při  $\gamma \rightarrow \omega$  dostaneme limitu typu 0/0 a smíme použít l'Hospitalovo pravidlo. Řešením pohybové rovnice vynuceného kmitání (6) v oblasti rezonance  $\gamma = \omega$  je pak funkce

$$x(t) = a \cos(\omega t + \alpha) + \frac{f}{2m\omega} t \sin(\omega t + \beta) \quad (10)$$

Snadno nahlédneme, že amplituda oscilací *netlumeného* systému při rezonanci lineárně roste s časem.

## 6 Tlumené kmity

Vzájemné působení kmitajícího systému s okolním homogenním prostředím zavádí do pohybové rovnice třecí sílu, která závisí výhradně na rychlosti kmitání.

V základním přiblížení je třecí síla přímo úměrná rychlosti a pohybová rovnice je

$$m\ddot{x} = -kx - \alpha\dot{x}, \quad (11)$$

kde po vydělení hmotností  $m$  označíme  $k/m = \omega_0^2$  a  $\alpha/m = 2\lambda$ , přičemž  $\omega_0$  je frekvence volného oscilátoru bez tření a  $\lambda$  je dekrement útlumu. V tomto značení má pohybová rovnice tlumeného oscilátoru tvar

$$\ddot{x} + 2\lambda\dot{x} + \omega_0^2 x = 0. \quad (12)$$

Z charakteristické rovnice  $r^2 + 2\lambda r + \omega_0^2$  příslušné rovnici (12) máme  $r_{1,2} = -\lambda \pm \sqrt{\lambda^2 - \omega_0^2}$  a obecné řešení (12) je

$$x(t) = c_1 e^{r_1 t} + c_2 e^{r_2 t}, \quad (13)$$

které se dále rozkládá na tři případy podle odmocniny v  $r_{1,2}$ .

Při  $\lambda < \omega_0$  má řešení rovnice (12) tvar

$$x(t) = a e^{-\lambda t} \cos(\omega t + \alpha), \quad (14)$$

kde  $\omega = \sqrt{\omega_0^2 - \lambda^2}$  a  $a$  a  $\alpha$  jsou reálné konstanty. V systému dochází k tlumeným periodickým kmitům s exponenciálně klesající amplitudou a sníženou frekvencí.

Při  $\lambda > \omega_0$  je obecným řešením (12) funkce

$$x(t) = c_1 e^{-[\lambda - \sqrt{\lambda^2 - \omega_0^2}]t} + c_2 e^{-[\lambda + \sqrt{\lambda^2 - \omega_0^2}]t}, \quad (15)$$

což odpovídá silnému útlumu, výchylka systému klesá jako  $|x|$  a asymptoticky ( $t \rightarrow \infty$ ) se blíží rovnovážné poloze. Tento režim se označuje jako aperiodický útlum.

Při  $\lambda = \omega_0$  dochází ke kritickému útlumu, což je zvláštní případ aperioidického tlumení a odpovídající řešení (12) je

$$x(t) = (c_1 + c_2 t)e^{-\lambda t}. \quad (16)$$

## 7 Vynucené kmity s tlumením

Přidáním vnější periodické síly  $f \cos(\gamma t)$  do rovnice tlumeného oscilátoru (12) dostaneme pohybovou rovnici

$$\ddot{x} + 2\lambda\dot{x} + \omega_0^2 x = \frac{f}{m} \cos(\gamma t). \quad (17)$$

Pomocí přeznačení vnější síly na komplexní tvar ( $\cos(\gamma t) \rightarrow e^{i\gamma t}$ ) a využitím partikulárního řešení  $x(t) = Be^{i\gamma t}$  máme pro  $B$

$$B = \frac{f}{m(\omega_0^2 - \gamma^2 + 2i\lambda\gamma)}. \quad (18)$$

Přepsáním  $B$  do formy  $B = be^{i\delta}$  dostaneme

$$b(\gamma) = \frac{f}{m\sqrt{(\omega_0^2 - \gamma^2)^2 + 4\lambda^2\gamma^2}}, \quad \tan\delta = \frac{2\lambda\gamma}{\gamma^2 - \omega_0^2}. \quad (19)$$

Partikulární řešení tvoří reálná část z  $Be^{i\gamma t} = be^{i(\gamma t + \delta)}$  a společně s řešením homogenní rovnice pro  $\lambda < \omega_0$  máme

$$x(t) = ae^{-\lambda t} \cos(\omega t + \alpha) + b \cos(\gamma t + \delta). \quad (20)$$

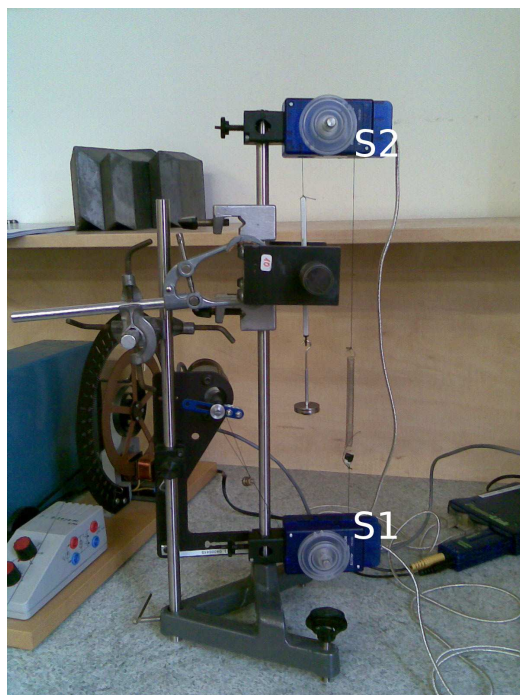
První člen exponenciálně klesá s rostoucím časem, takže po dostatečně dlouhé době zůstane jen druhý člen a řešením rovnice (17) je

$$x(t) = b \cos(\gamma t + \delta). \quad (21)$$

Při rezonanci nabývá amplituda  $b$  (19) maxima, ale už není nekonečná a maximum má v bodě  $\gamma = \sqrt{\omega_0^2 - 2\lambda^2}$ .

## 8 Experimentální sestava

Aparatura pro měření kmitání pružiny je zobrazena na obr. 2. Senzor S1 měří časový průběh vnější síly a oscilace měří senzor S2. Vnější periodickou sílu vyrábí otáčení motorku, tlumení oscilátoru je realizováno vířivými proudy indukovanými magnety v hliníku a na hliníkovém tělese je zavěšen držák závaží. Třetí připojený senzor se používá pro měření Pohlova torzního kyvadla ve druhé části úlohy. Vychytání senzorů se provádí v programu DataStudio.



Obrázek 2: Experimentální aparatura

## 8.1 Kalibrace senzorů

V programu DataStudio v nabídce nastavení *Setup* pro oba poziční senzory nastavíme pouze měření lineární polohy *Linear Position*, pro lineární stupnici *Linear Scale* vybereme *Other* a nastavíme obvod kladky. Obvod je výhodné zadat v milimetrech bez ohledu na přednastavené jednotky programu. Automatické nulování polohy *Zero sensor* vypneme a ruční nulování provedeme bez zavěšených závaží. Vzorkovací frekvenci nastavíme na 25 Hz.

Pokud DataStudio po spuštění vyžaduje ruční zadání typu senzoru, vybereme *Rotary Motion Sensor*.

## 8.2 Měření časového průběhu tlumených kmitů

Na držák umístíme zvolené závaží, symbol grafu *Graph* v DataStudiu tažením přesuneme na senzor oscilací S2, spustíme nabírání dat *Start*, krátkým tahem za závaží systému udělíme počáteční výchylku a necháme volně kmitat do zastavení. Poté nabírání dat ukončíme, levým tlačítkem označíme část průběhu před volným kmitáním a vybranou oblast odebereme v nabídce pravého tlačítka, analogicky můžeme odebrat oblast po ukončení kmitání. Editovaný graf uložíme do textového souboru jako *File* → *Export data*.

### 8.3 Měření závislosti amplitudy vynucených kmitů na frekvenci vnější síly

Nejprve měříme amplitudu oscilací v závislosti na napájecím napětí motorku v oblasti okolo rezonance pro  $\sim 10$  hodnot napětí. Amplitudu odečítáme z grafu senzoru S2, do kterého pro dané napětí zaznamenáme 10~20 period a tlačítkem  $\Sigma$  zobrazíme minimum a maximum, amplituda je pak rozdíl maxima a minima. Předchozí měření nejrychleji smažeme označením příslušného *run#* a stiskem kláves Delete a Enter.

Dále měříme frekvenci budící síly pro  $\sim 5$  různých napětí v rozsahu použitém v předchozí části. Lineárním proložením závislosti frekvence  $f$  na napětí  $U$   $f(U) = aU + b$  vznikne funkce pro převod napětí na frekvenci. Během měření odečítáme frekvenci pomocí grafu senzoru vnější síly S1, do kterého pro každé napětí nabere  $\sim 10$  period a pomocí nástroje pro odečítání souřadnic v horní části grafu zaznamenáme počáteční a konečný čas  $t_1$  a  $t_2$  pro  $n$  period. Frekvence  $f$  je pak  $f = n/(t_2 - t_1)$ . Odečítáním souřadnic změříme také amplitudu budící síly.

### 8.4 Měření tuhosti pružiny statickou metodou

Z grafu senzoru oscilací S2 odečteme prodloužení  $x$ , které způsobí zavěšení závaží hmotnosti  $m$ . Tuhost pružiny  $k$  získáme z rovnice  $mg = -kx$ , kde  $g$  je tíhové zrychlení.

### 8.5 Technické poznámky

- Amplituda vnější síly by neměla přesáhnout 1 mm, v opačném případě při rezonanci hrozí vypadnutí lanka pružiny z kladky.
- Program DataStudio ukládá data s desetinnou čárkou, pro práci s programem *gnuplot* je třeba v souboru čárky nahradit za tečky a odstranit první dvě řádky úvodního textu. Nahrazení umí libovolný textový editor.

## 9 Prokládání dat v programu gnuplot

Gnuplot je výkonný nástroj pro analýzu dat, bezplatně dostupný pro Linux i Windows.

Příklad proložení časového průběhu tlumených kmitů rovnicí (14) je v oddílu Listing 1. Makro *dump.gp* je přílohou tohoto návodu, stejně jako zdrojová data v souboru *x3.txt*. Makro spustíme buď jako parametr spuštění

gnuplotu v terminálu (`$ gnuplot dump.gp`), nebo v gnuplotu příkazem `> load "dump.gp"`.

Řádky 2-6 určují výstup na obrazovku nebo do souboru s obrázkem, funkce na řádce 7 odpovídá rovnici (14), přičemž  $d$  je technický parametr k odstranění konstantního posunutí dat. Řádek 15 provede proložení pro všechny parametry a řádky 22 a 23 vykreslí výsledek. Znak `"\"` rozděluje řádek zdrojového kódu, pokud je nevhodně dlouhý.

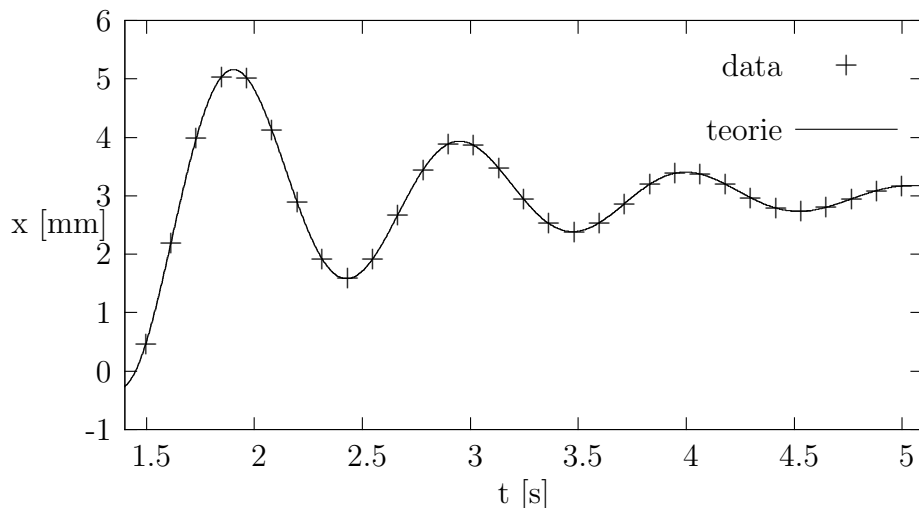
```

1  #komentar zacina dvojitym krizkem
2  set terminal x11 size 800,600 persist #nastavi vystup na obrazovku
3  #set terminal windows size 800,600 #vystup na obrazovku ve windows
4
5  #set terminal png size 800,600 #vystup do obrazku .png
6  #set output "fig1.png"
7  f(x)=a*exp(-1*1*x)*cos(o*x+h)+d #funkce kterou chceme prolozit data
8  a=1 #pocatecni hodnoty parametru funkce
9  l=1
10 o=3
11 h=1
12 d=1
13 set xrange [1.4:5.1] #volitelne lze nastavit
14 #povoleny rozsah osy
15 fit f(x) "x3.txt" via a,l,o,h,d #spusti prokladani dat v souboru x3.txt
16 set samples 1000 #hladi vykresleni funkce f
17 set pointsize 4 #velikost bodu v grafu
18 set xlabel "t [s]" #popisky os
19 set ylabel "x [mm]"
20
21 #vykresli funkci a data
22 plot "x3.txt" with points lc rgb "black" title "data", \
23 f(x) lc rgb "black" title "teorie"

```

Listing 1: dump.gp - proložení tlumených kmitů v programu gnuplot

Na obrázku obr. 3 je uveden příklad proložení tlumeného kmitání oscilátoru z makra 1. Data byla vygenerována podle rovnice (14) a parametry proložení se s nastavením generování shodují se zanedbatelnou chybou řádu  $10^{-5}\%$ .



Obrázek 3: Tlumené oscilace



Proměnná  $\omega$  v rovnici (14) je úhlová rychlost v rad/s. S periodou oscilací  $T$  je vztažena rovnicí  $\omega T = 2\pi$ , takže pro frekvenci oscilací  $f$  v Hz platí  $f = \omega/2\pi$ .

Úspěšnost proložení velmi závisí na počátečním nastavení hodnot parametrů. Výhodné je také sloučení několika konstant rovnice substitucí do jedné proměnné makra nebo jako proměnnou použít přímo mocninu konstanty. V rovnici (19) lze použít jednu proměnnou pro  $f/m$  a proměnnou přímo pro  $\lambda^2$ .

V případě, že je dosaženo nejlepšího možného proložení, ale funkce stále lehce prochází okolo dat, lze použít jednoduchý trik ve zvětšení datových bodů grafu.

## Reference

- [1] Lev D. Landau, Mechanics, 1976
- [2] Richard P. Feynman, Feynmanovy přednášky z fyziky, 2000